



Großwetterlage

Oktober 2016

erstellt durch die Vorhersage- und Beratungszentrale, Offenbach
Ausgabe: 15.11.2016

Zonale Zirkulation

| | Nr. | GW zählt als | Jan. | Feb. | W | März | April | Mai | F | Juni | Juli | Aug. | S | Sept. | Okt. | Nov. | H | Dez. | Jahr |
|--------------------|-----|--------------------|-----------|----------|-----------|----------|----------|----------|-----------|----------|-----------|-----------|-----------|-----------|----------|----------|-----------|----------|-----------|
| Wa | 1 | a | 9 | 2 | | - | - | 3 | | - | 7 | 3 | | 5 | - | - | | - | |
| Wz | 2 | z | - | 3 | | 8 | - | - | | - | 5 | 8 | | 2 | 2 | - | | - | |
| Ws | 3 | z | 11 | - | | - | 4 | - | | - | - | - | | - | - | - | | - | |
| Ww | 4 | z | - | 3 | | - | - | - | | 4 | 3 | 4 | | 3 | - | - | | - | |
| W (GT) | | | 20 | 8 | 28 | 8 | 4 | 3 | 15 | 4 | 15 | 15 | 34 | 10 | 2 | 0 | 12 | 0 | 89 |
| zonale Zirkulation | | | 20 | 8 | 28 | 8 | 4 | 3 | 15 | 4 | 15 | 15 | 34 | 10 | 2 | 0 | 12 | 0 | 89 |

Gemischte Zirkulation

| | Nr. | GW zählt als | Jan. | Feb. | W | März | April | Mai | F | Juni | Juli | Aug. | S | Sept. | Okt. | Nov. | H | Dez. | Jahr |
|-----------------------|-----|--------------------|----------|----------|----------|----------|----------|----------|-----------|----------|----------|----------|----------|----------|----------|----------|----------|----------|-----------|
| SWa | 5 | H+a | - | - | | - | - | - | | 3 | - | - | | 3 | - | - | | - | |
| SWz | 6 | z | - | 3 | | - | - | 3 | | - | - | 3 | | - | - | - | | - | |
| SW (GT) | | | 0 | 3 | 3 | 0 | 0 | 3 | 3 | 3 | 0 | 3 | 6 | 3 | 0 | 0 | 3 | 0 | 15 |
| NWa | 7 | a | - | - | | 6 | 5 | - | | - | - | - | | - | 3 | - | | - | |
| NWz | 8 | z | - | 4 | | - | - | - | | - | - | 4 | | - | - | - | | - | |
| NW (GT) | | | 0 | 4 | 4 | 6 | 5 | 0 | 11 | 0 | 0 | 4 | 4 | 0 | 3 | 0 | 3 | 0 | 22 |
| HM | 9 | H+a | 5 | - | | 5 | - | 3 | | - | 3 | 3 | | 6 | - | - | | - | |
| BM | 10 | H+a | - | - | | - | - | 3 | | - | - | - | | - | 3 | - | | - | |
| HM (GT) | | | 5 | 0 | 5 | 5 | 0 | 6 | 11 | 0 | 3 | 3 | 6 | 6 | 3 | 0 | 9 | 0 | 31 |
| TM (GT) | 11 | T+z | - | - | 0 | - | - | 6 | 6 | 4 | - | - | 4 | - | 5 | - | 5 | - | 15 |
| gemischte Zirkulation | | | 5 | 7 | 12 | 11 | 5 | 15 | 31 | 7 | 3 | 10 | 20 | 9 | 11 | 0 | 20 | 0 | 83 |

Meridiane Zirkulation

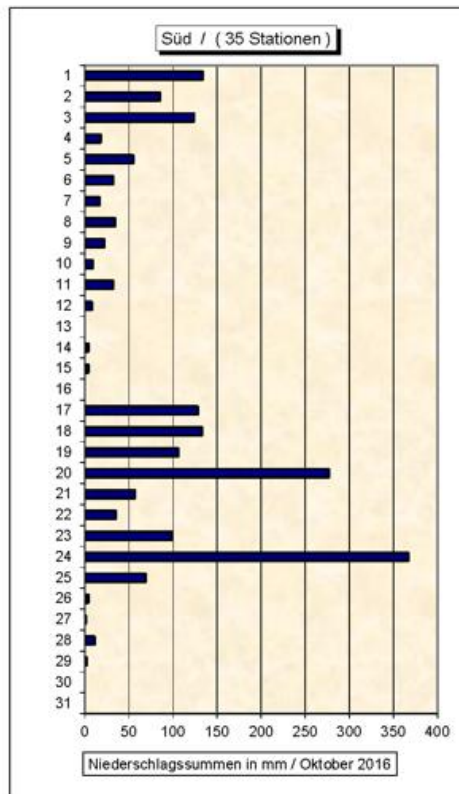
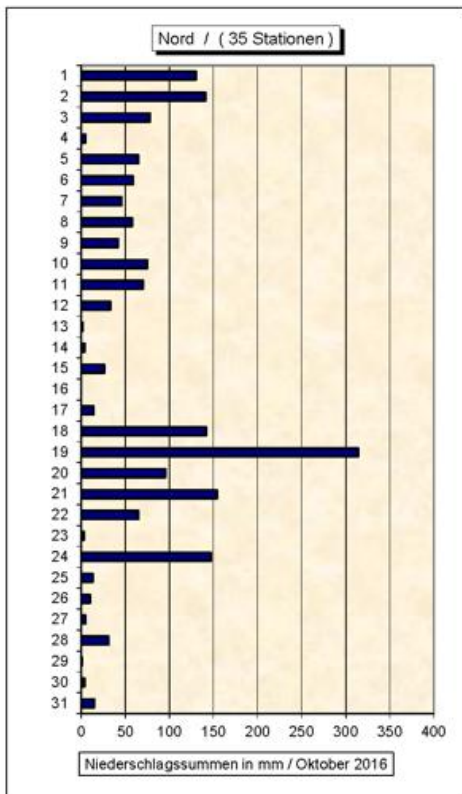
| | Nr. | GW zählt als | Jan. | Feb. | W | März | April | Mai | F | Juni | Juli | Aug. | S | Sept. | Okt. | Nov. | H | Dez. | Jahr | | | | |
|------------------------------|-----|--------------------|----------|-----------|----|-----------|-----------|-----------|----|-----------|-----------|-----------|----|-----------|-----------|-----------|---|-----------|----------|------------|----------|---|----------|
| Na | 12 | a | - | - | 13 | - | - | 3 | 20 | - | - | - | 17 | - | - | - | 0 | - | 0 | | | | |
| Nz | 13 | z | 3 | 3 | | - | 3 | - | | - | - | - | | - | - | - | | - | | - | - | - | - |
| HNa | 14 | a | - | - | | - | - | - | | - | - | - | | - | - | - | | - | | - | - | - | - |
| HNz | 15 | T+z | - | - | | - | - | - | | - | 7 | - | | - | - | - | | - | | - | - | - | - |
| HB | 16 | a | - | - | | - | - | - | | - | - | - | | 3 | - | - | | - | | - | - | - | - |
| TrM | 17 | T+z | - | 7 | | 9 | 5 | - | | - | 3 | 4 | | - | - | - | | - | | - | - | - | - |
| N (GT) | | | 3 | 10 | | | 9 | 8 | | 3 | | 10 | | 4 | 3 | | | 0 | | 0 | 0 | | 0 |
| NEa | 18 | H+a | - | - | 13 | 3 | - | - | 20 | - | - | - | 17 | - | 4 | - | 0 | - | 0 | | | | |
| NEz | 19 | T+z | - | - | | - | - | - | | - | - | - | | - | - | - | | - | | - | - | - | - |
| HFa | 20 | H+a | - | - | | - | - | - | | - | - | - | | - | - | - | | 4 | | 3 | - | - | - |
| HFz | 21 | T+z | 3 | - | | - | - | - | | - | - | 6 | | 3 | - | - | | 3 | | 3 | - | - | - |
| HNFa | 22 | H+a | - | - | | - | - | - | | 4 | - | - | | - | - | - | | - | | - | - | - | - |
| HNfz | 23 | T+z | - | - | | - | - | - | | 6 | - | - | | - | - | - | | - | | 4 | - | - | - |
| SEa | 24 | H+a | - | - | | - | - | - | | - | - | - | | - | - | - | | - | | 4 | - | - | - |
| SEz | 25 | T+z | - | - | | - | - | - | | - | - | - | | - | - | - | | - | | - | - | - | - |
| E (GT) | | | 3 | 0 | | 3 | 0 | 10 | | 0 | 6 | 3 | | 7 | 18 | 0 | | 25 | 0 | 50 | | | |
| Sa | 26 | H+a | - | - | 13 | - | - | - | 20 | - | - | - | 17 | 4 | - | - | 0 | - | 0 | | | | |
| Sz | 27 | z | - | - | | - | - | - | | - | - | - | | - | - | - | | - | | - | - | - | - |
| TB | 28 | z | - | - | | - | 5 | - | | - | 3 | - | | - | - | - | | - | | - | - | - | - |
| TrW | 29 | z | - | 4 | | - | 8 | - | | - | 6 | 3 | | - | - | - | | - | | - | - | - | - |
| S (GT) | | | 0 | 4 | | 0 | 13 | 0 | | 9 | 3 | 0 | | 4 | 0 | 0 | | 4 | 0 | 33 | | | |
| meridiane Zirkulation | | | 6 | 14 | | 20 | 12 | 21 | | 19 | 13 | 6 | | 38 | 11 | 18 | | 29 | 0 | 133 | | | |

Summe

| | Nr. | GW zählt als | Jan. | Feb. | W | März | April | Mai | F | Juni | Juli | Aug. | S | Sept. | Okt. | Nov. | H | Dez. | Jahr |
|----------------------------|-----|--------------------|------|------|----|------|-------|-----|----|------|------|------|----|-------|------|------|----|------|------|
| Übergangs - lage (Tage) | | | - | - | 0 | - | - | - | 0 | - | - | - | 0 | - | - | - | 0 | - | 0 |
| Σ a | | | 14 | 2 | 16 | 14 | 5 | 16 | 35 | 3 | 10 | 9 | 22 | 22 | 17 | 0 | 39 | 0 | 112 |
| Σ z | | | 17 | 27 | 44 | 17 | 25 | 15 | 57 | 27 | 21 | 22 | 70 | 8 | 14 | 0 | 22 | 0 | 193 |
| Σ H | | | 5 | 0 | 5 | 8 | 0 | 10 | 18 | 3 | 3 | 3 | 9 | 17 | 14 | 0 | 31 | 0 | 63 |
| Σ T | | | 3 | 7 | 10 | 9 | 5 | 12 | 26 | 14 | 10 | 3 | 27 | 3 | 12 | 0 | 15 | 0 | 78 |

| GWL 2016 | GWL nach Hess & Brezowsky | Kurzbeschreibung |
|-----------------------------|---------------------------|---|
| Samstag, den 01. Oktober | Wz | Die westliche Strömung über dem atlantisch-europäischen Raum mäandriert nun stark, so dass Tröge und die dadurch initiierten Zyklonen und deren Fronten Mitteleuropa passieren. |
| Sonntag, den 02. Oktober | Wz | |
| Montag, den 03. Oktober | HFa | Ein Hochdruckkeil in der mittleren Troposphäre über Westeuropa erstreckt sich nordostwärts, verbreitert seine Basis und dominiert später den Großteil des Kontinents. Am Boden etabliert sich eine kräftige Antizyklone über Fennoskandien. Mitteleuropa wird nur schwach gestört. |
| Dienstag, den 04. Oktober | HFa | |
| Mittwoch, den 05. Oktober | HFa | |
| Donnerstag, den 06. Oktober | HNfz | Der anfangs sehr breite und im Norden bis nach Spitzbergen reichende Geopotentialrücken wird an seiner Ostflanke geschwächt, auf diesem Wege gelangt hoch reichende Kaltluft nach Ost- und Mitteleuropa. Im Bodenniveau hält sich die kräftige Antizyklone über Fennoskandien. Über Zentraleuropa ziehen mit östlicher Strömung meist nur schwache Störungen heran. |
| Freitag, den 07. Oktober | HNfz | |
| Samstag, den 08. Oktober | HNfz | |
| Sonntag, den 09. Oktober | HNfz | |
| Montag, den 10. Oktober | NEa | Der Geopotentialrücken wird auch über Nordeuropa etwas abgebaut, damit wird am Boden die ausgedehnte Antizyklone über Fennoskandinavien schwächer. Nach anfänglichem Druckanstieg über Westeuropa etablieren sich Zyklonen über der Iberischen Halbinsel sowie über dem Schwarzen Meer. Mitteleuropa wird in einer östlichen Strömung kaum gestört. |
| Dienstag, den 11. Oktober | NEa | |
| Mittwoch, den 12. Oktober | NEa | |
| Donnerstag, den 13. Oktober | NEa | |
| Freitag, den 14. Oktober | SEa | Das Geopotential über Südosteuropa steigt, dabei werden das Schwarzmeertief geschwächt und die Antizyklone über Fennoskandien gestärkt, die sich zunächst südwärts ausdehnen und später nach Mittelrussland verlagern kann. Zentraleuropa gerät so in eine südöstliche Strömung, bevor ein temporär abgeschnittener, westeuropäischer Trog ostwärts voran kommt. |
| Samstag, den 15. Oktober | SEa | |
| Sonntag, den 16. Oktober | SEa | |
| Montag, den 17. Oktober | SEa | |
| Dienstag, den 18. Oktober | TM | Der Trog über Westeuropa zieht weiter ostwärts und wird infolge eines Cut-Off-Prozesses weitgehend von der Frontalzone getrennt. Das nun entstandene Höhentief verbleibt über Zentraleuropa, eingebettet in einen breiten Geopotentialrücken, der sich am Ende weit nordwärts bis nach Spitzbergen und Nowaja Semlja ausdehnt, während sich vom Nordatlantik her ein weiterer Trog nähert. Mitteleuropa wird von alternden Frontensystemen beeinflusst. |
| Mittwoch, den 19. Oktober | TM | |
| Donnerstag, den 20. Oktober | TM | |
| Freitag, den 21. Oktober | TM | |
| Samstag, den 22. Oktober | TM | |
| Sonntag, den 23. Oktober | HFz | Während eine mächtige Antizyklone über Nordrussland das Wetter in Fennoskandinavien bestimmt und sich nur langsam südwärts verlagert, wird der größte Teil des Kontinents von Tiefdruckgebieten dominiert, deren Frontensysteme auch Mitteleuropa beeinflussen. |
| Montag, den 24. Oktober | HFz | |
| Dienstag, den 25. Oktober | HFz | |
| Mittwoch, den 26. Oktober | BM | Rasch steigt das Geopotential über West- und Mitteleuropa, im Bodendruckfeld bildet sich zwischen den Azoren und Mitteleuropa eine Hochdruckbrücke, die am Ende im Westen und an ihrer Nordseite abgebaut wird. Zentraleuropa bleibt von Tiefausläufern meist ungestört. |
| Donnerstag, den 27. Oktober | BM | |
| Freitag, den 28. Oktober | BM | |
| Samstag, den 29. Oktober | NWa | Der breite Hochdruckrücken über Westeuropa hält stand, während ein Polarluftvorstoß über Osteuropa dort Geopotential abbaut. Am Boden zieht eine mächtige Zyklone vom Nordmeer nach Mittelrussland, so dass sich über Mitteleuropa eine nordwestliche Strömung einstellt. |
| Sonntag, den 30. Oktober | NWa | |
| Montag, den 31. Oktober | NWa | |

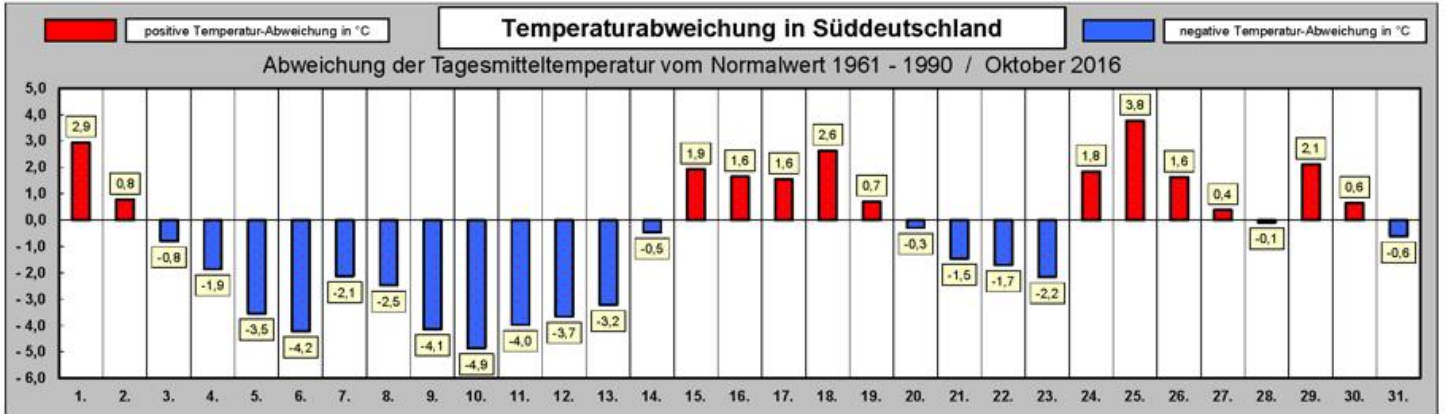
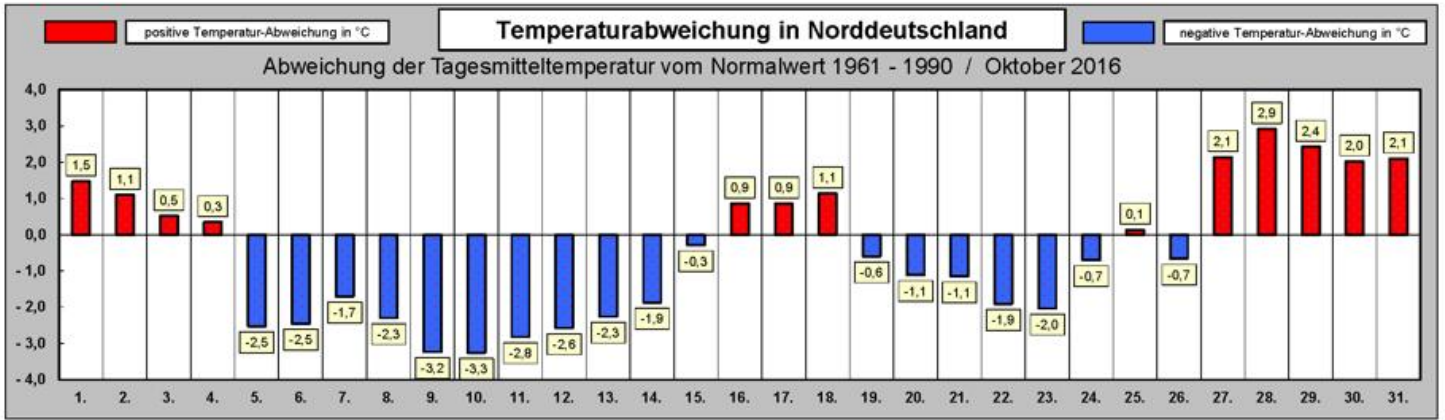
| Legende zur Großwetterlagen-Tabelle | | | |
|-------------------------------------|-------------|--|----------------|
| Nummer | Abkürzung | Großwetterlage | Farbe |
| 1 | Wa | Westlage, Mitteleuropa überwiegend antizyklonal | Hellgrün |
| 2 | Wz | Westlage, Mitteleuropa überwiegend zyklonal | Grelles Grün |
| 3 | WS | Südliche Westlage | Meeresgrün |
| 4 | WW | Winkelförmige Westlage | Grün |
| 5 | SWa | Südwestlage, Mitteleuropa überwiegend antizyklonal | Hellorange |
| 6 | SWz | Südwestlage, Mitteleuropa überwiegend zyklonal | Orange |
| 7 | NWa | Nordwestlage, Mitteleuropa überwiegend antizyklonal | Türkis |
| 8 | NWz | Nordwestlage, Mitteleuropa überwiegend zyklonal | Blaugrün |
| 9 | HM | Hoch Mitteleuropa | Weiß |
| 10 | BM | Hochdruckbrücke Mitteleuropa | Hellgrau 25% |
| 11 | TM | Tief Mitteleuropa | Grau 50% |
| 12 | Na | Nordlage, Mitteleuropa überwiegend antizyklonal | Blassblau |
| 13 | Nz | Nordlage, Mitteleuropa überwiegend zyklonal | Blau |
| 14 | HNa | Hoch Nordmeer-Inland, Mitteleuropa überwiegend antizyklonal | Himmelblau |
| 15 | HNz | Hoch Nordmeer-Inland, Mitteleuropa überwiegend zyklonal | Blaugrau |
| 16 | HB | Hoch Britische Inseln | Helltürkis |
| 17 | TrM | Trog Mitteleuropa | Dunkelgrau 80% |
| 18 | NEa | Nordostlage, Mitteleuropa überwiegend antizyklonal | Lavendel |
| 19 | NEz | Nordostlage, Mitteleuropa überwiegend zyklonal | Pflaume |
| 20 | HFa | Hoch Fennoskandien, Mitteleuropa überwiegend antizyklonal | Hellrosa |
| 21 | HFz | Hoch Fennoskandien, Mitteleuropa überwiegend zyklonal | Rosa |
| 22 | HNFa | Hoch Nordmeer-Fennoskandien, Mitteleuropa überwiegend antizyklonal | Hellgelb |
| 23 | HNFz | Hoch Nordmeer-Fennoskandien, Mitteleuropa überwiegend zyklonal | Dunkelgelb |
| 24 | SEa | Südostlage, Mitteleuropa überwiegend antizyklonal | Gelb |
| 25 | SEz | Südostlage, Mitteleuropa überwiegend zyklonal | Gold |
| 26 | Sa | Südlage, Mitteleuropa überwiegend antizyklonal | Gelbbraun |
| 27 | Sz | Südlage, Mitteleuropa überwiegend zyklonal | Rot |
| 28 | TB | Tief Britische Inseln | Braun |
| 29 | TrW | Trog Westeuropa | Dunkelrot |
| 30 | Ü | Übergangslage / Unbestimmt | Grau 40% |



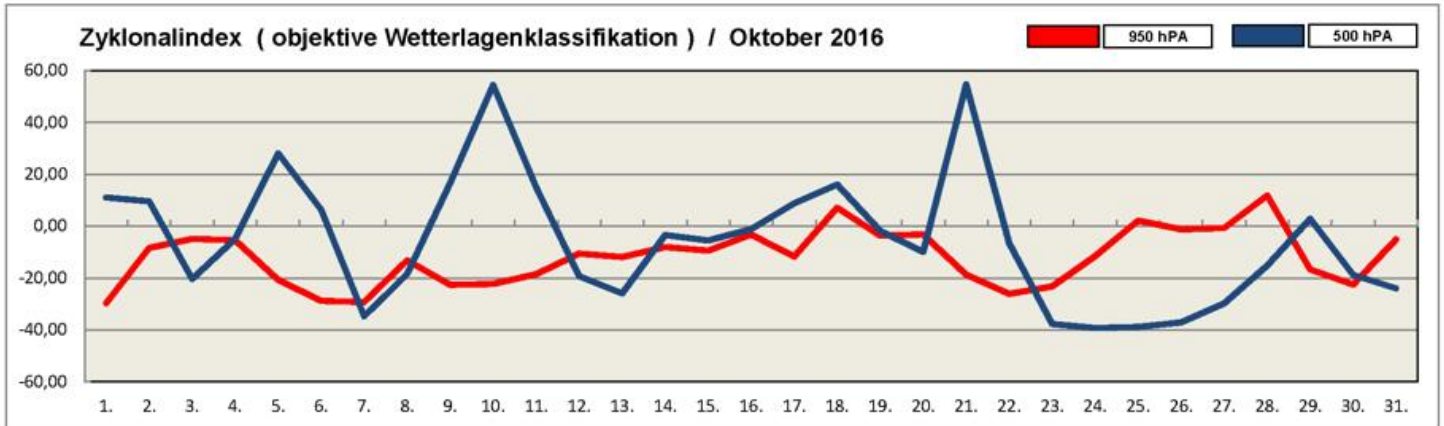
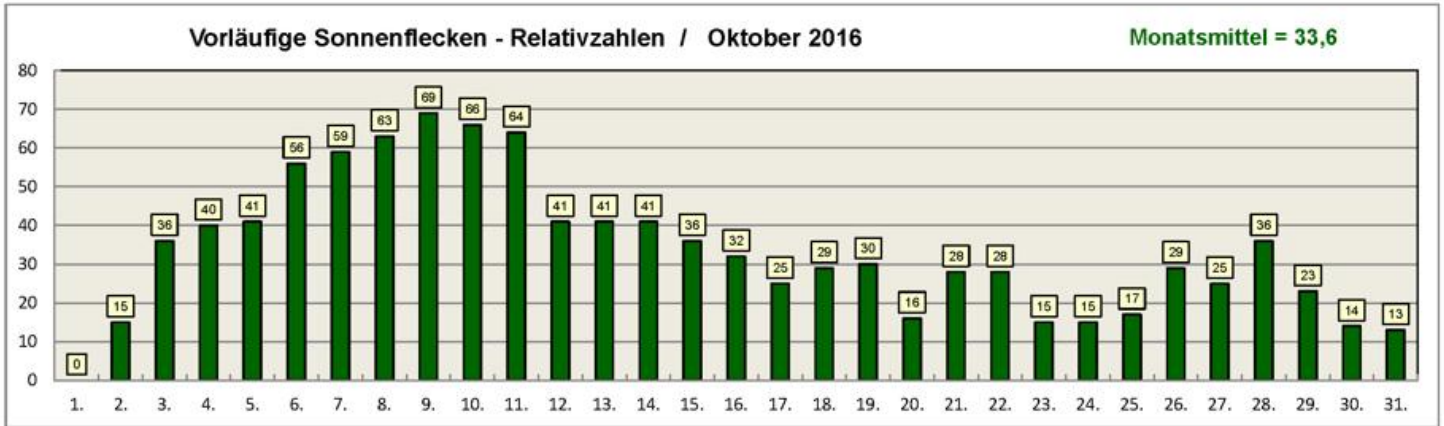
| Tag | Nord | Süd |
|-----|------|-----|
| 1. | 31 | 32 |
| 2. | 32 | 32 |
| 3. | 27 | 34 |
| 4. | 6 | 18 |
| 5. | 12 | 15 |
| 6. | 25 | 21 |
| 7. | 24 | 14 |
| 8. | 26 | 28 |
| 9. | 26 | 12 |
| 10. | 24 | 7 |
| 11. | 34 | 23 |
| 12. | 24 | 8 |
| 13. | 4 | 2 |
| 14. | 9 | 7 |
| 15. | 28 | 10 |
| 16. | 2 | 1 |
| 17. | 16 | 32 |
| 18. | 34 | 34 |
| 19. | 35 | 34 |
| 20. | 33 | 34 |
| 21. | 34 | 28 |
| 22. | 26 | 23 |
| 23. | 7 | 33 |
| 24. | 22 | 34 |
| 25. | 17 | 20 |
| 26. | 15 | 3 |
| 27. | 10 | 3 |
| 28. | 30 | 15 |
| 29. | 5 | 8 |
| 30. | 12 | 2 |
| 31. | 20 | 0 |

Anzahl der Stationen mit Niederschlag

Temperaturabweichung in Deutschland



Witterungsverlauf : Sonnenflecken und Zyklonalindex



| Stationen | Temperatur | Abweichung | Niederschlag | Abweichung | Sonnenschein | Abweichung | Luftdruck | Abweichung |
|------------------------|------------|------------|--------------|------------|---------------|------------|------------|------------|
| 10035 Schleswig | 9,2 °C | - 0,2 °C | 61,0 mm | 68,0 % | 64,5 Stunden | 66,0 % | 1022,4 hPA | + 7,2 hPA |
| 10113 Norderney | 10,6 °C | - 0,2 °C | 68,6 mm | 85,5 % | 84,0 Stunden | 82,8 % | 1021,8 hPA | + 6,9 hPA |
| 10147 Hamburg | 9,2 °C | - 0,5 °C | 25,0 mm | 39,6 % | 56,0 Stunden | 55,6 % | 1022,0 hPA | + 6,2 hPA |
| 10170 Rostock | 9,6 °C | - 0,3 °C | 47,1 mm | 111,3 % | 50,2 Stunden | 47,9 % | 1022,1 hPA | + 6,3 hPA |
| 10338 Hannover | 9,1 °C | - 0,6 °C | 58,6 mm | 139,5 % | 50,5 Stunden | 48,6 % | 1021,7 hPA | + 5,0 hPA |
| 10379 Potsdam | 8,6 °C | - 0,8 °C | 51,5 mm | 143,5 % | 51,2 Stunden | 44,8 % | 1021,4 hPA | + 3,9 hPA |
| 10410 Essen | 9,6 °C | - 1,1 °C | 46,7 mm | 67,2 % | 86,4 Stunden | 77,8 % | 1021,5 hPA | + 4,7 hPA |
| 10438 Kassel | 8,2 °C | - 1,1 °C | 52,8 mm | 98,1 % | 60,1 Stunden | 60,9 % | 1021,7 hPA | + 4,2 hPA |
| 10453 Brocken | 2,7 °C | - 2,0 °C | 243,4 mm | 179,5 % | 28,6 Stunden | 26,7 % | 1021,8 hPA | + 4,4 hPA |
| 10469 Leipzig | 9,2 °C | - 0,7 °C | 80,2 mm | 197,1 % | 43,5 Stunden | 40,6 % | 1021,3 hPA | + 3,4 hPA |
| 10496 Cottbus | 8,9 °C | - 0,6 °C | 67,9 mm | 179,6 % | 47,7 Stunden | 40,1 % | 1021,2 hPA | + 3,3 hPA |
| 10567 Gera | 8,4 °C | - 0,4 °C | 61,5 mm | 147,1 % | 39,4 Stunden | 32,6 % | 1021,4 hPA | + 2,9 hPA |
| 10609 Trier | 9,0 °C | - 0,8 °C | 47,3 mm | 72,3 % | 68,1 Stunden | 65,9 % | 1021,6 hPA | + 4,4 hPA |
| 10637 Frankfurt (Main) | 9,8 °C | + 0,0 °C | 47,7 mm | 94,5 % | 67,5 Stunden | 65,9 % | 1021,5 hPA | + 3,9 hPA |
| 10739 Stuttgart | 9,6 °C | - 0,4 °C | 44,2 mm | 108,9 % | 92,9 Stunden | 76,5 % | 1021,5 hPA | + 3,0 hPA |
| 10763 Nürnberg | 8,5 °C | - 0,5 °C | 54,2 mm | 120,7 % | 73,2 Stunden | 60,0 % | 1021,8 hPA | + 3,2 hPA |
| 10803 Freiburg | 9,5 °C | - 0,9 °C | 52,8 mm | 83,5 % | 89,3 Stunden | 73,1 % | 1021,4 hPA | + 3,5 hPA |
| 10870 München | 8,1 °C | - 0,1 °C | 33,9 mm | 69,8 % | 96,2 Stunden | 80,2 % | 1021,8 hPA | + 2,7 hPA |
| 10895 Passau | 8,0 °C | + 0,3 °C | 45,5 mm | 76,7 % | 80,6 Stunden | 64,6 % | 1021,6 hPA | + 2,6 hPA |
| 10961 Zugspitze | -4,2 °C | - 2,1 °C | 86,5 mm | 79,5 % | 131,6 Stunden | 69,7 % | 1021,6 hPA | + 2,4 hPA |

* Bei allen Abweichungswerten wird der aktuelle Monatsmittelwert dem 30-jährigen Mittelwert (climat-Wert) aus dem Zeitraum 1961 bis 1990 gegenüber gestellt !

| Stationen | Temperatur | Abweichung | Niederschlag | Abweichung | Sonnenschein | Abweichung | Luftdruck | Abweichung | |
|-----------|------------------|------------|--------------|------------|--------------|---------------|-----------|------------|------------|
| 01026 | Tromsø | 4,5 °C | + 1,6 °C | 66,0 mm | 52,8 % | 68,0 Stunden | 138,8 % | 1026,1 hPA | + 20,1 hPA |
| 02935 | Jvaskylá | 2,6 °C | - 0,8 °C | 22,0 mm | 39,3 % | 58,0 Stunden | 81,3 % | 1029,6 hPA | + 18,4 hPA |
| 03005 | Lerwick | 9,4 °C | + 1,2 °C | 56,0 mm | 41,2 % | 127,0 Stunden | 208,2 % | 1023,9 hPA | + 15,9 hPA |
| 03091 | Aberdeen | 9,6 °C | - 0,3 °C | 84,0 mm | 109,1 % | 77,0 Stunden | 82,8 % | 1023,3 hPA | + 13,0 hPA |
| 03772 | London | 12,3 °C | + 0,6 °C | 22,0 mm | 37,9 % | 106,0 Stunden | 99,1 % | 1021,7 hPA | + 6,0 hPA |
| 04030 | Reykjavik | 7,8 °C | + 3,4 °C | 207,0 mm | 241,8 % | 40,0 Stunden | 48,0 % | 1007,8 hPA | + 5,5 hPA |
| 06260 | De Bilt | 9,9 °C | - 0,6 °C | 47,0 mm | 65,3 % | 132,0 Stunden | 128,2 % | 1021,4 hPA | + 5,7 hPA |
| 06447 | Brüssel | 9,7 °C | - 1,2 °C | 51,0 mm | 72,9 % | 109,0 Stunden | 95,3 % | 1020,9 hPA | + 4,5 hPA |
| 06590 | Luxemburg | 8,9 °C | - 0,2 °C | 38,0 mm | 50,7 % | 99,0 Stunden | 90,9 % | 1021,5 hPA | + 3,8 hPA |
| 06700 | Genf | 9,9 °C | - 0,2 °C | 90,0 mm | 116,9 % | 122,0 Stunden | 107,0 % | 1021,0 hPA | + 2,1 hPA |
| 06770 | Lugano | 12,3 °C | - 0,2 °C | 127,0 mm | 90,7 % | 144,0 Stunden | 94,7 % | 1019,9 hPA | + 1,2 hPA |
| 07149 | Paris | 10,9 °C | - 1,0 °C | 26,0 mm | 48,1 % | 137,0 Stunden | 108,7 % | 1021,0 hPA | + 4,1 hPA |
| 07222 | Nantes | 11,8 °C | - 1,3 °C | 43,0 mm | 54,4 % | 150,0 Stunden | 106,4 % | 1019,6 hPA | + 2,8 hPA |
| 07690 | Nizza | 17,2 °C | + 0,2 °C | 107,0 mm | 99,1 % | 198,0 Stunden | 96,6 % | 1017,1 hPA | - 0,5 hPA |
| 08221 | Madrid | 16,4 °C | + 1,9 °C | 48,0 mm | 126,3 % | 174,0 Stunden | 85,3 % | 1015,9 hPA | - 3,1 hPA |
| 08509 | Azoren (Lajes) | 18,2 °C | - 0,5 °C | 66,0 mm | 50,8 % | 131,0 Stunden | 86,2 % | 1019,0 hPA | - 0,4 hPA |
| 08535 | Lissabon | 18,9 °C | + 0,4 °C | 54,0 mm | 67,5 % | 188,0 Stunden | 88,3 % | 1014,9 hPA | - 4,5 hPA |
| 11035 | Wien | 9,8 °C | - 0,1 °C | 89,0 mm | 217,1 % | 83,0 Stunden | 59,3 % | 1020,9 hPA | + 1,5 hPA |
| 11150 | Salzburg | 8,6 °C | - 0,9 °C | 180,0 mm | 268,7 % | 101,0 Stunden | 72,7 % | 1021,4 hPA | + 2,0 hPA |
| 11518 | Prag | 8,3 °C | + 0,0 °C | 72,0 mm | 240,0 % | 55,0 Stunden | 45,5 % | 1021,4 hPA | + 2,6 hPA |
| 12205 | Stettin | 8,6 °C | - 0,6 °C | 55,0 mm | 144,7 % | 43,0 Stunden | 47,3 % | 1021,8 hPA | + 5,0 hPA |
| 12375 | Warschau | 7,6 °C | - 0,7 °C | 110,0 mm | 289,5 % | 47,0 Stunden | 34,8 % | 1021,7 hPA | + 3,0 hPA |
| 12843 | Budapest | 9,6 °C | - 1,3 °C | 48,0 mm | 141,2 % | 119,0 Stunden | 75,3 % | 1020,8 hPA | + 1,2 hPA |
| 13274 | Belgrad | 11,2 °C | - 1,2 °C | 77,0 mm | 192,5 % | 140,0 Stunden | 83,3 % | 1020,8 hPA | + 1,0 hPA |
| 15420 | Bukarest | 9,6 °C | - 1,2 °C | 128,0 mm | 400,0 % | 78,0 Stunden | 44,0 % | 1021,8 hPA | + 1,1 hPA |
| 15614 | Sofia | 10,3 °C | - 0,1 °C | 61,0 mm | 164,9 % | 125,0 Stunden | 74,4 % | 1021,0 hPA | - 0,2 hPA |
| 16597 | Malta (Luqa) | 23,5 °C | + 2,8 °C | 24,0 mm | 26,7 % | 199,0 Stunden | 90,0 % | 1016,9 hPA | - 0,7 hPA |
| 16714 | Athen | 19,7 °C | + 1,4 °C | 43,0 mm | 86,0 % | 182,0 Stunden | 85,0 % | 1018,0 hPA | + 0,6 hPA |
| 17116 | Bursa | 15,7 °C | + 0,7 °C | 17,0 mm | 29,3 % | 174,0 Stunden | 95,1 % | 1018,7 hPA | - 0,1 hPA |
| 22550 | Archangelsk | 3,0 °C | + 1,5 °C | 22,0 mm | 36,7 % | 53,0 Stunden | 89,8 % | 1028,9 hPA | + 18,8 hPA |
| 27595 | Kasan | 4,0 °C | + 0,4 °C | 32,0 mm | 66,7 % | 63,0 Stunden | 75,0 % | 1029,4 hPA | + 13,7 hPA |
| 34300 | Charkow | 6,3 °C | - 1,0 °C | 45,0 mm | 128,6 % | 97,0 Stunden | 78,2 % | 1025,2 hPA | + 5,3 hPA |